

## 河川底泥の水理、水質学的挙動に関する基礎的研究

岡山大学工学部 正員 石合 宏文  
同 同 河原 長美  
(株)鴻池組 同 ○相原 信博

### 1. まえがき

都市河川の河床には高濃度に有機物を含む底泥が堆積しており、この下層底泥のまきあせと水質汚染に及ぼす影響を及ぼしてい。近年になり環境改善が計画されるようになり、河川底泥の除去や水質改善の面から底泥に関する基礎的資料の収集が必要とされてきている。本研究では実河川における浮泥と底泥の分布ならびにその水理、水質学的挙動を明らかにし、浮泥が水質汚濁へ及ぼす影響の程度ならびに水質汚濁防止の対策を検討する基礎的資料を得ることを目的として、調査を行なった。

### 2. 調査方法および分析方法

調査対象河川は、大阪市および隣接する都市を流れる淀川、神崎川、神崎川支流の木路(吹田市)、宝威川、猪名川および瀬川である。採泥、採水地点ならびに地点ナンバーを図-1に示す。図において、Yは淀川を、Kは神崎川を、Sは神崎川支流の木路を、Aは宝威川を、Iは猪名川を、Mは瀬川を示す。河川を走る矢印は水の流れを示している。

調査は2回に分けて行ない、日時、調査項目および調査地点はそれなり次のようである。第1回調査は、昭和54年1月9日～11日に行ない、調査項目は粒度分布、灼熱減量、流速および水位があり、調査地点はY-1～6、K-1～11、A-1、I-1およびM-1である。

第2回調査は、昭和55年1月18日～19日に行ない、調査項目はBOD<sub>5</sub>、COD(Mn)、流速、水位、調査地点はK-1～8～10、S-1～3である。

底泥の分析方法は次の通りである。粒度分布には、マンドレアゼンピエット法とフルイ分け法を併用し、灼熱減量は600°Cで2時間灼熱することにより求めた。

水質分析方法は次の通りである。浮遊物質はガラスファイバーパーパー紙法で得られた浮遊物質濃度と光度計による吸光度と関係よりキャリブレーションカーブを得て不透光度を算出した。

浮遊物質濃度を算出した。BOD<sub>5</sub>は下水試験方法に準拠し、COD(Mn)はアルカリ性重火法である。

### 3. 実験結果と考察

#### (1) 底泥の分析

各地点における底泥の密度( $\rho$ )、中央粒径( $d_{50}$ )、灼熱減量(I.L.)、代表粒径( $D$ )、頻度分布曲線のデータを示す粒径で複数のセグメントが出現するときは小大いほうの粒径)、摩擦速度( $V_f$ )を表-1に示す。底泥の粒径分布曲線は、上流部と下流部とに1つずつ、2つのタイプに分けられ、摩擦速度の大きさは上流では、150～700mに集中して存在しており、下流では、10～30mに集中して存在している。また、下流では比重の小さい有機物質の沈降とともに下り、灼熱減量も高い値を示している。

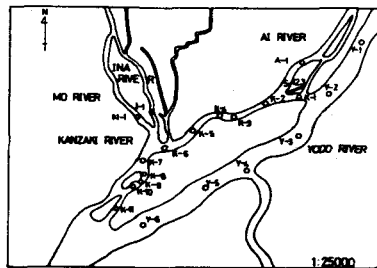


図-1 採泥・採水地点ならびに地点ナンバー

表-1

地点	中央粒径( $d_{50}$ )	代表粒径( $D$ )	灼熱減量	比重
Y-1	2.63	480	0.65	1.00
Y-2	2.62	310	1.35	1.01
Y-3	2.66	220	1.92	2.25
Y-4	2.60	420	0.81	1.02
Y-5	2.70	340	0.76	2.0
Y-6	2.54	—	10.65	0.490
K-1	2.65	200	1.92	1.05
K-2	2.66	280	1.43	1.00
K-3	2.66	—	10.21	0.993
K-4	2.63	320	1.31	1.00
K-5	2.65	300	2.02	3.95
K-6	2.35	47	16.38	1.71
K-7	2.51	23	12.89	0.940
K-8	2.43	13	20.32	1.77
K-9	2.37	12	21.80	1.4
K-10	2.31	14	23.07	1.3
K-11	2.37	112	20.65	1.24
A-1	2.63	680	0.70	0.997
M-1	2.65	600	6.30	1.80
I-1	2.63	600	1.02	1.62

## (2) 淤泥の

水質等的特性

地点 K-9 における SS と BOD の関係および SS と COD の関係を 図-2 および 図-3 に、地点 S-2 における SS と BOD の関係を 図-4 に示す。

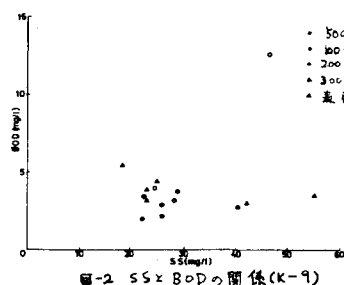


図-2 SS と BOD の関係 (K-9)

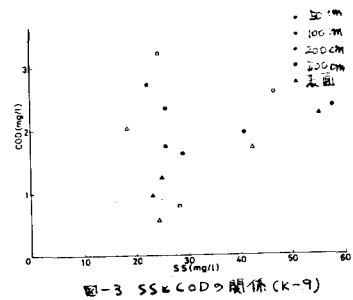


図-3 SS と COD の関係 (K-9)

SS と

BOD の関

係を 図-4

に示す。図に

示すよ。

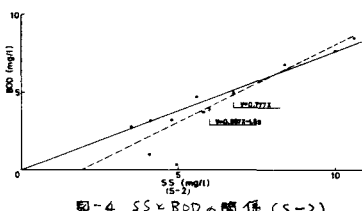


図-4 SS と BOD の関係 (S-2)

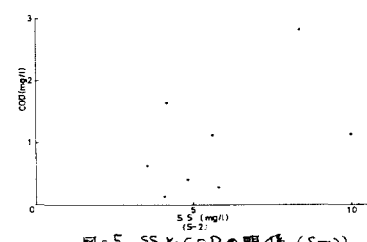


図-5 SS と COD の関係 (S-2)

SS と COD との間に明確な関係はみられず、また SS と

BOD の間の相関は河川によって異なり、必ずしも明確な相関が

あるとはいえないが、神崎川支流の水路(図-4)においては、

$SS (X \text{ mg/l}) \times BOD_5 (Y \text{ mg/l})$  の間には、

$$Y = 0.987X - 1.89 \quad (1)$$

なる直線関係があり、大きさは除いた点を除き原点を通る直線を最小二乗法で決定すると次式を得られる。

$$Y = 0.777X \quad (2)$$

## (3) SS の特性

K-8、9、10 における SS 濃度と摩擦速度の時間的変化を 図-6、7、8 に示す。図中に示す 1.4~2.24 cm/sec における一点鎖線は、村岡らが実験により得た都市河川底泥の限界摩擦速度がこの範囲内にあることを示す。図に示すように SS 濃度は、限界摩擦速度より大きい範囲にあり、摩擦速度の増減変化とほぼ同じ形の変動を示している。

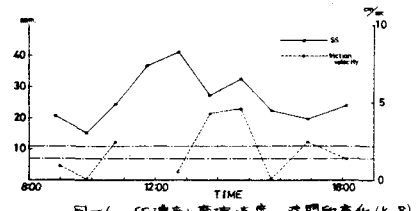


図-6 SS 濃度と摩擦速度の時間的変化 (K-8)

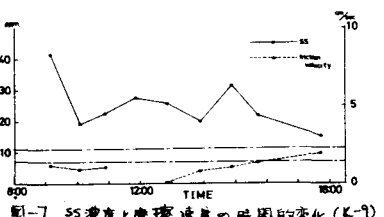


図-7 SS 濃度と摩擦速度の時間的変化 (K-9)

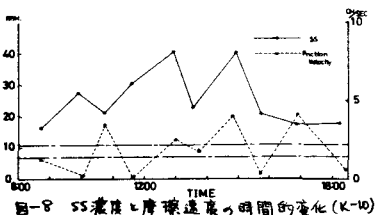


図-8 SS 濃度と摩擦速度の時間的変化 (K-10)

## 参考文献

- ① 村岡浩輔、他：流水による底泥漂浮と水質との関連  
第 18 回水理講演会講演集 (1974)
- ② 粉体工学研究会：粉体粒度測定法、養賢堂 (1965)